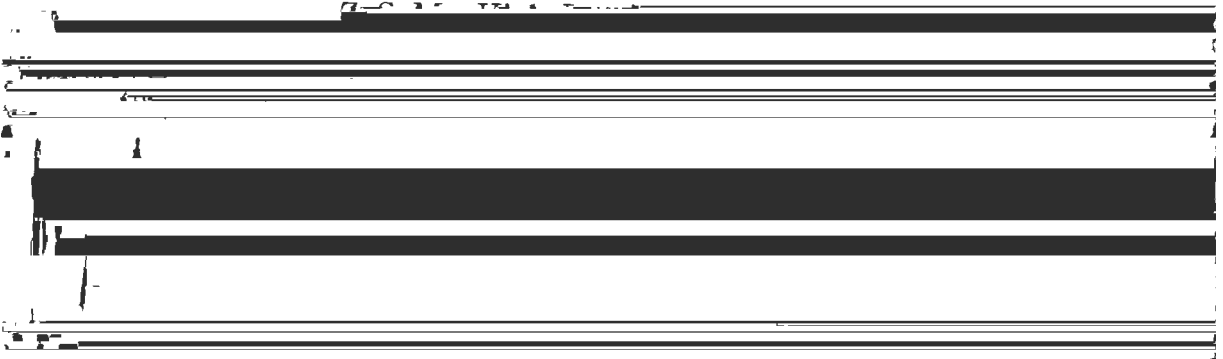
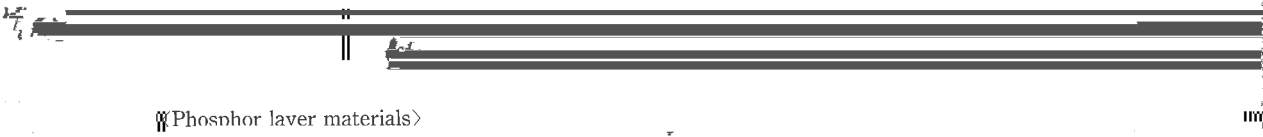
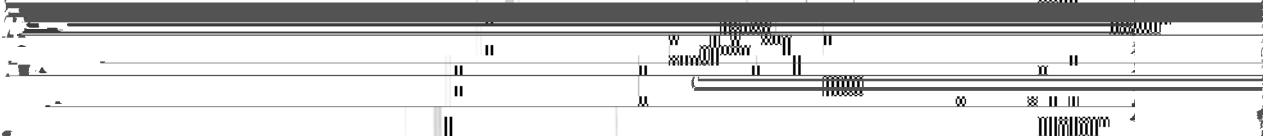
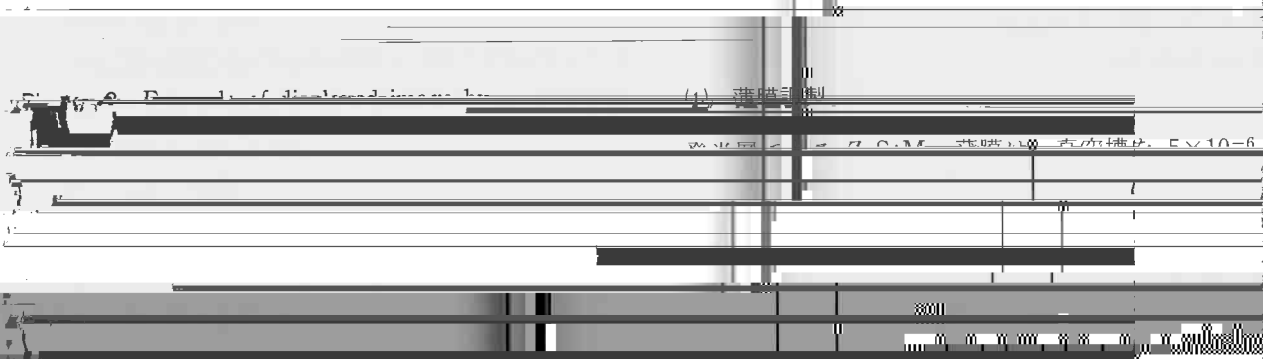


渋谷孝一  
内海健太郎  
袖木崎裕  
近藤昭夫



Electroluminescent panel





diagonal EL panel

<Phosphor layer materials>

(1) 透視圖

圖名: 透視圖 比例: 1:10

(2) 側視圖

圖名: 側視圖 比例: 1:10

(3) 俯視圖

圖名: 俯視圖 比例: 1:10

(4) 仰視圖

圖名: 仰視圖 比例: 1:10

(5) 左側視圖

圖名: 左側視圖 比例: 1:10

(6) 右側視圖

圖名: 右側視圖 比例: 1:10

(7) 透視圖

圖名: 透視圖 比例: 1:10

(8) 透視圖

圖名: 透視圖 比例: 1:10

(9) 透視圖

圖名: 透視圖 比例: 1:10

(10) 透視圖

圖名: 透視圖 比例: 1:10

(11) 透視圖

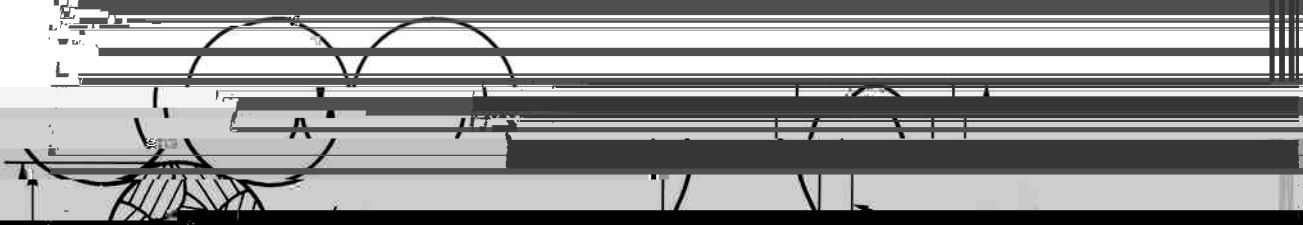
圖名: 透視圖 比例: 1:10

(12) 透視圖

圖名: 透視圖 比例: 1:10

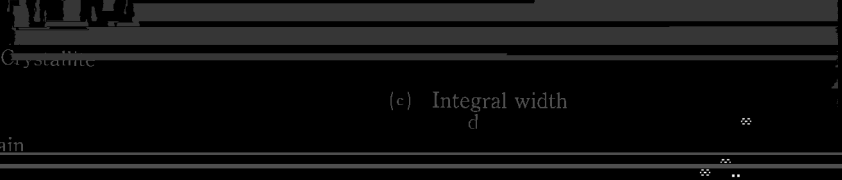
(13) 透視圖

圖名: 透視圖 比例: 1:10



2.

Fig. 3. Size and distribution of crystallite



(a) Crystallite and grain

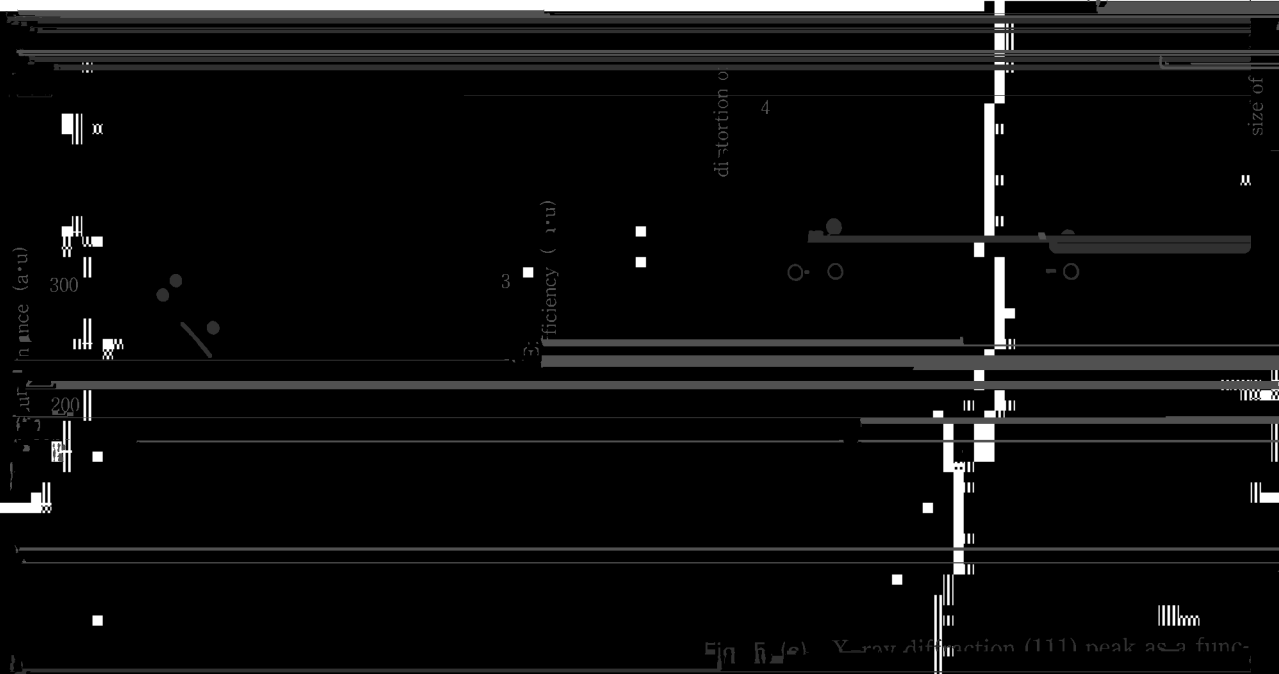
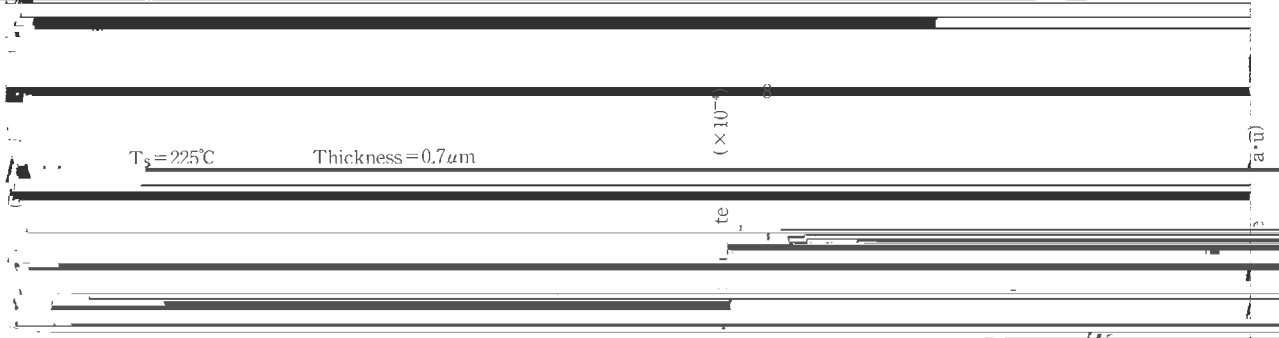
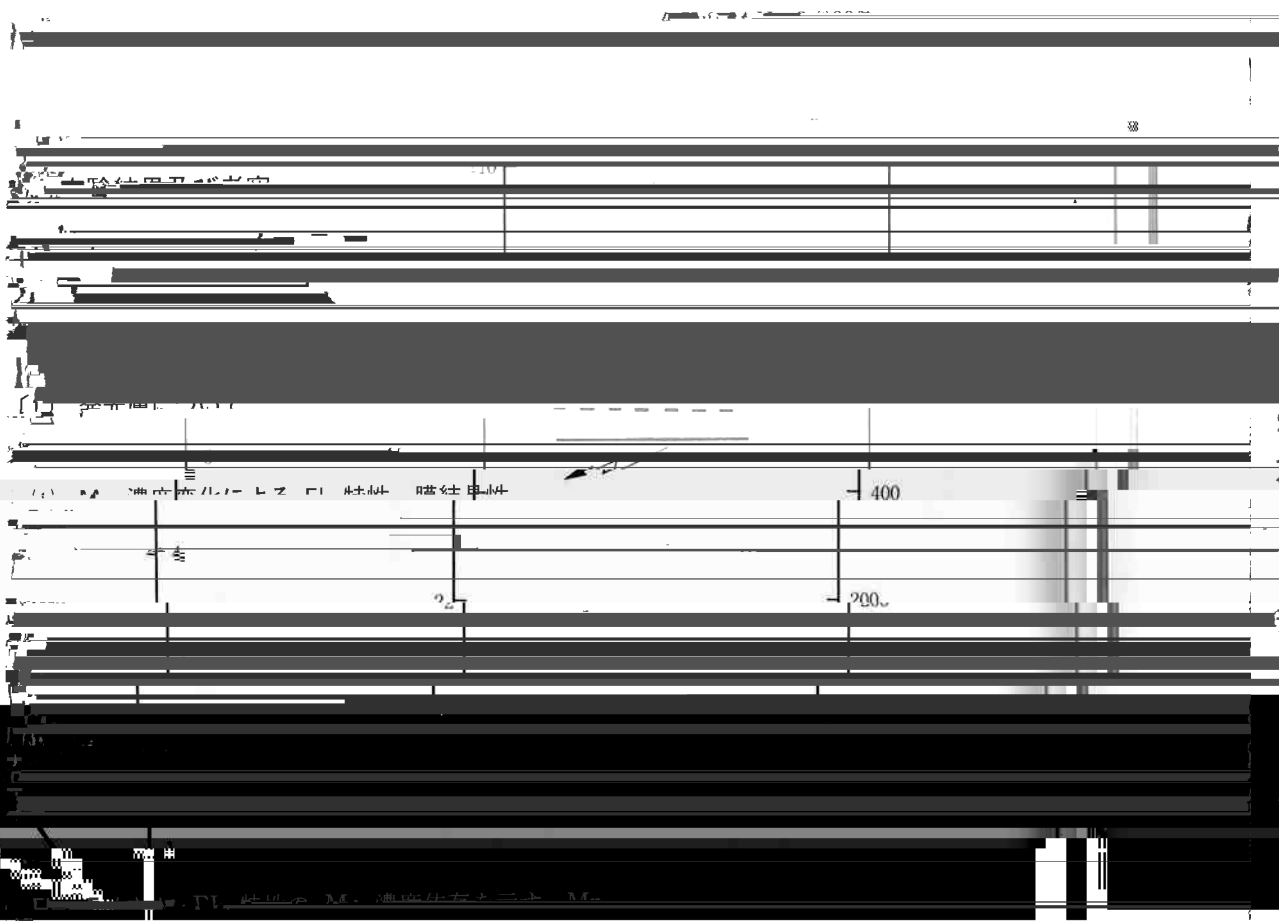
Table 1. Sputtering condition for insulating layers

Condition	Sputtering	Condition
1. None-alkali glass		
2. ITO or Al electrode		x
3. Insulating layer		

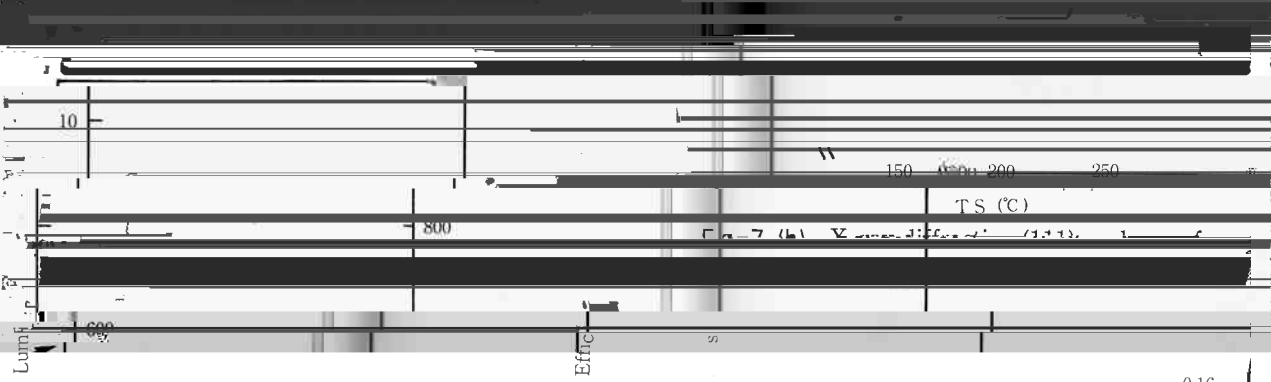
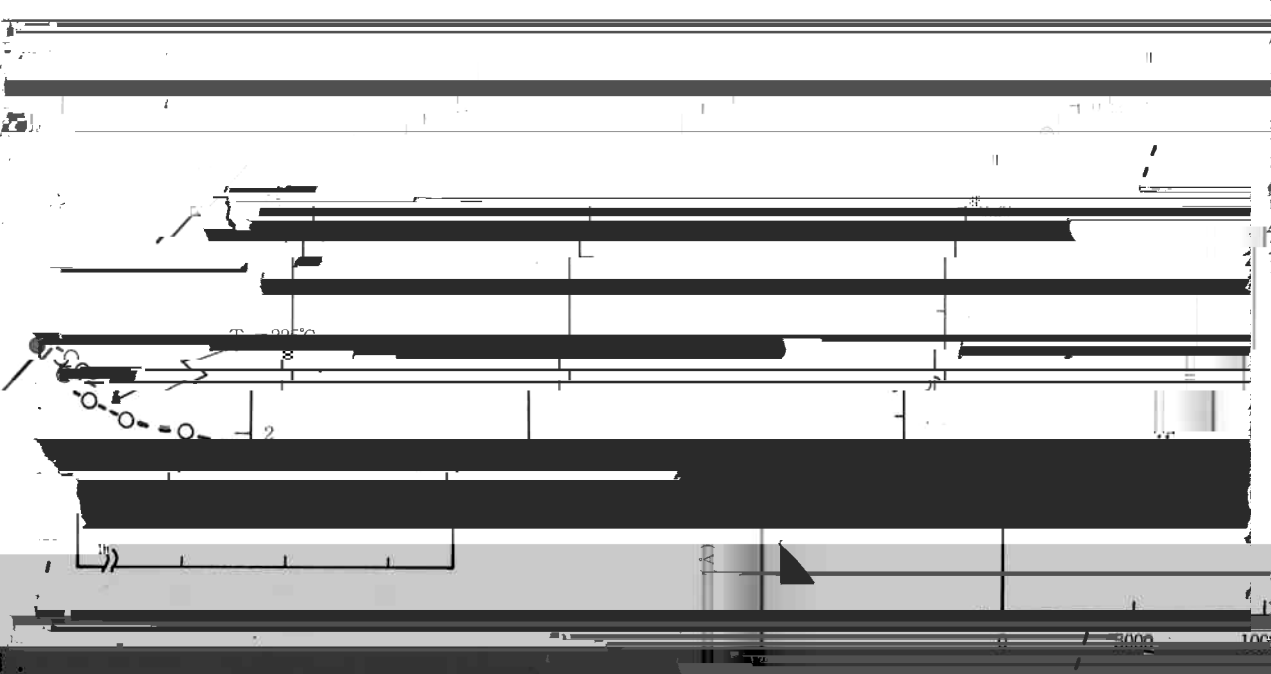
1. None-alkali glass

2. ITO or Al electrode

3. Insulating layer

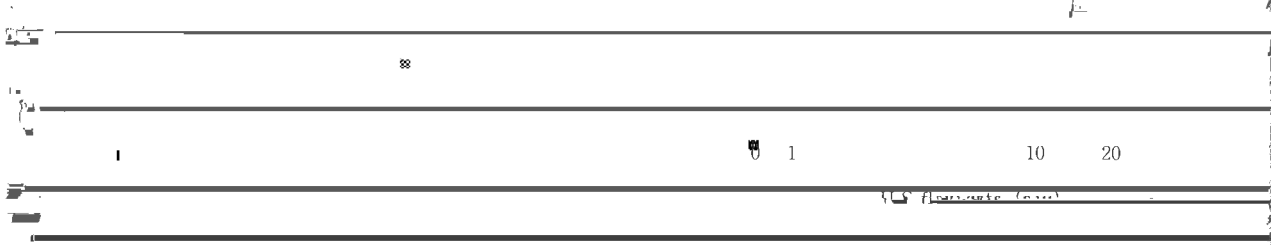


濃度が 0.5~0.6 wt% の時、箔厚の幅度 が変ると、晶粒





(a) X線法によるホルタルとシリコンの結晶構造の比較



(b) X-ray diffraction peak intensity as a function of the diffraction angle



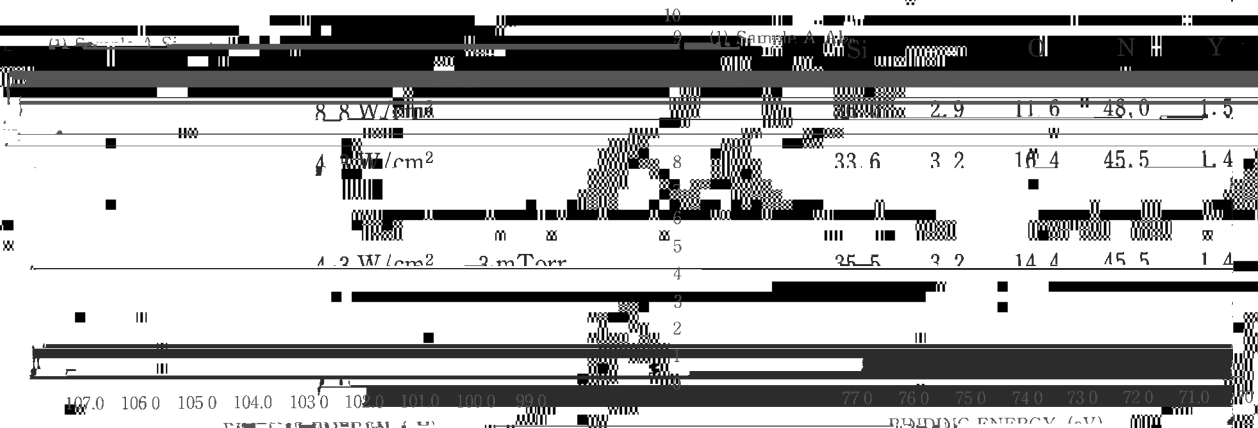


Fig. 12 Dielectric constant of SiAlON as a function of preparation condition

Table 2 Preparation condition of SiAlON

Table 3 EPMA results of SiAlON

Preparation condition	Si	Al	N	O	Y
A	2.9	11.6	48.0	1.5	
B	33.6	3.2	16.4	45.5	1.4
C	25.5	2.2	14.4	45.5	1.4



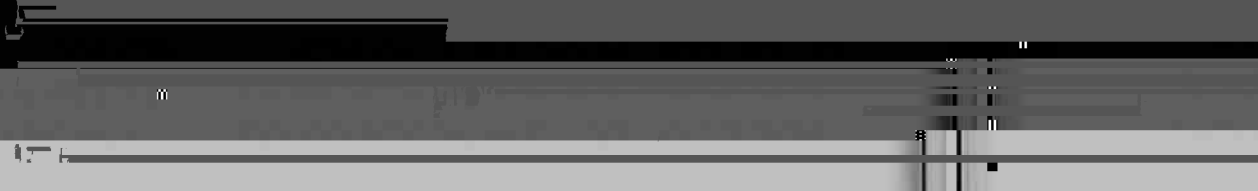
8.8 W/cm<sup>2</sup>  
 4 W/cm<sup>2</sup>  
 4.2 W/cm<sup>2</sup> 2 mTorr



8.8 W/cm<sup>2</sup>  
 4 W/cm<sup>2</sup>  
 4.2 W/cm<sup>2</sup> 2 mTorr



8.8 W/cm<sup>2</sup>  
 4 W/cm<sup>2</sup>  
 4.2 W/cm<sup>2</sup> 2 mTorr



8.8 W/cm<sup>2</sup>  
 4 W/cm<sup>2</sup>  
 4.2 W/cm<sup>2</sup> 2 mTorr



